

15

" -2-1", NOAA, TERRA, AQUA.

5

15

" -2-1", NOAA, TERRA, AQUA.

The work aim is to analyze the feasibility of the tasks of economic activities in Ukraine through the Earth remote sensing data with spatial resolution of 5 m and more. The potential of the national market of the Earth remote sensing data is assessed in the form of costs. When comparing similar assessments made by the authors back 15 years the trend of reducing the total cost of activities for assessing the state of the environment in Ukraine is demonstrated. Basically, this trend results from a decrease in costs of satellite images and the capability of making free satellite images from the Sich-2-1, NOAA, TERRA, AQUA spacecraft.

:

1999

10 [1].

()

:

— ()

;

—

, . .

;

— , ,

,

15 ?

1)

0,5 .

40

:

, ,

2)

— (0,1 – 0,2) %; ,
(0,1 – 0,2) ; ,

– (0,1 – 1) [2].

3)

WMO (NOAA, NASA

[3] –

(0,5 – 5,0) % (0,1 – 1) ,
(0,01 – 0,2)

,

(0,1 – 1,0) %

— 2016. – 1.

, 2016

4)

: [4], Pixel Solutions [5], "

" [6].

(,)

[7]

(, ,).

(,)

(.),

,

,

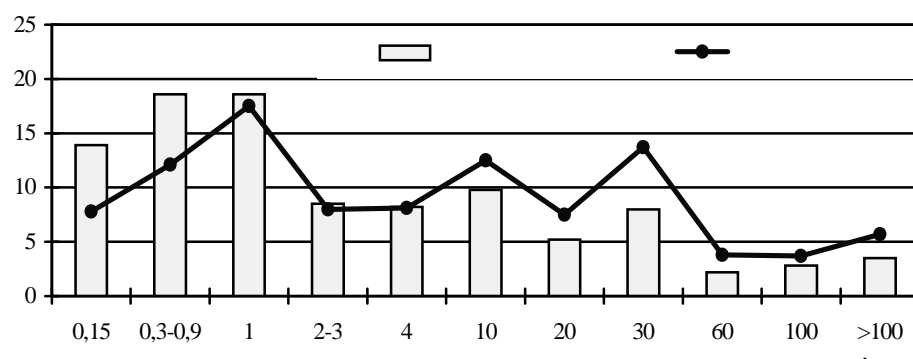
[8 - 12].

70

[10].

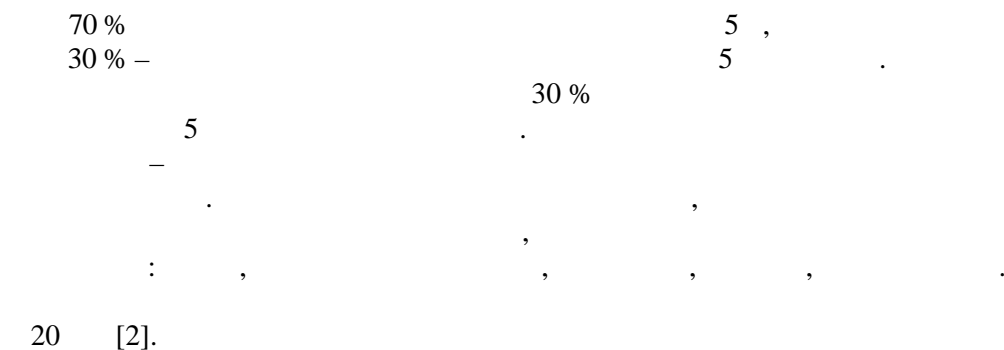
1995

:
— 20 — 14,10 %;
— 20 - 50 — 82,30 %;
— 100 - 600 — 3,50 %;
— 1 () — 0,02 %.



. 1 -

[13], . 1, 2002



20 [2].

(U.S. Geological Survey) [14]

[14],
[15]

(-
)

2002

. 1
 , , -
 , , -
 . 1 -

I) 4 :
 (,);
 II) , , -
 (1), (5);
 III)

(~1-2)
 IV) (0,5 20), (10 \cdot 10^2);
 (, (1-50).
 1.01.2012 [16]:
 603,5 \cdot 10^2 ;
 —
 — (309,3 \cdot 10^2 ,) 415,4 \cdot 10^2
 74,5 % 86 \cdot 10^2 ;
 — 21 \cdot 10^2 ;
 — () 24 \cdot 10^2 ;
 — 0,68 \cdot 10^2 ;
 — 2,4 \cdot 10^2 ;
 — 1265 ;
 — 460 \cdot 10^2 .

(. . . . 1, II),

(. . . . 1, IV),

,
 , (,
 . 2 " "),
 2023 ., " " "
 " " [17].

, . 1 2 , I II
 , (i -2-1), AVHRR (NOAA), OLI
 (Landsat 8), SAR (Radarsat-2), MODIS (TERRA, AQUA).

, OLI, SAR . 3.

, (. .²) . 4.
 , OLI, SAR, AVHRR, MODIS

. 5,

. 6.

I II , . 7. . 3 5,
 ,

1 -

	2	2	2	(/)			
				()	()	()	()
I							
1.1	600	10	60	1 (5 - 10)	-	-	1 (10) 0,1-0,5 % 0,5-1
1.2	2	1	2	5 (5 - 10)	1 (30)	-	- 0,1-0,5 % 0,1-0,2 0,5-1
1.3	600	5	120	4 (30)	-	-	1 (30) 0,1-0,5 % 0,5-1
1.4	21	5	4	3 (5 - 10)	-	-	1 (10) 0,1-0,5 % 0,5-1
1.5	90	1	90	3 (5 - 10)	2 (30)	-	1 (10) 0,1-0,5 % 0,1-0,2
1.6	415 0,7	5 1	84 9	4 (30) 3 (10)	2 (30) 2 (30)	2 (60) 2 (30)	1 (30) 1 (10) 0,1-0,5 % 0,1-0,2 0,5-1
1.7	200	5	40	4 (10 - 30)	2 (30)	-	1 (10 - 30) 0,1-0,5 % 0,1-0,2 0,5-1

				(/)			
				(/)	(/)	(/
1.8 ())	7	1	7	1 (10)	—	—	1 (10)	15 % 0,5–1
1.9	2,5	6	5	—	—	—	1 (10)	—
1.10 — —	600 25	5 3	120 8	3(10 – 50) 3(5 – 10)	— —	— —	1 (30) 1 (10)	0,1–0,5 % 0,5–1
II								
2.1 — —	420 42	7 4 7 4	5040 504	— —	2 (1000) 2 (30)	— —	— —	0,1–0,2
2.2	420	7 6	5040	—	2 (30)	1 (100)	1 (300)	0,1–0,2 0,5–1
2.3 ()) — —	600 12	7 5 7 5	9600 190	1 (1000) 1 (30)	1 (1000) 1 (30)	1(10000) 1 (1000) (2500)	— 1 1	0,1–0,5 % 0,1–0,2 0,5–1
2.4	420	1	420	3 (5 – 10)	—	—	1 (30)	0,1–0,5 % 0,5–1
2.5	420	30 4	1680	3 (5 – 10)	2 (30)	—	1 (30)	0,1–0,5 % 0,1–0,2 0,5–1
2.6	420	7 5	6720	2 (500 – 1000)	1 (1000)	—	1 (2500)	0,1–0,5 % 0,1–0,2 0,5–1
2.7 — —	600 600	1 3	220000 73200	5 (1000) 5 (250)	4 (1000) 4 (800)	— —	— —	0,1–0,5 % 0,1–0,2
2.8 ())	24	9	860	5 (5 – 10)	4 (30)	4 (100)	1 (30)	0,1–0,5 % 0,1–0,2 0,5–1
2.9 (): — —	600 600	1 5 7 5	7200 1580	5 (200) 5 (200)	4 (800) 4 (300)	4 (300) 4 (300)	— —	0,1–0,5 % 0,1–0,2
2.10	460	10	17000	5 (300)	4 (100)	4 (500)	1 (2500)	0,1–0,5 % 0,1–0,2 0,5–1
2.11 — — "	70 50	7 6 7 5	1700 1200	1 (250) 1 (250)	1 (300) 2 (300)	1 (500) 2 (500)	1 (2500) 1 (2500)	0,1–0,5 % 0,1–0,2 0,5–1

					(/	,	-	
					()))
2.12	-	460	10	17000	-	2 (300 - 1000)	-	- 0,1-0,2
	III							
3.1	-				5 (10)	4 (10)	4 (20)	1(20)
	(,	-	3 - 6	-				-
3.2	-				3 (5)	2 (10)	2 (20)	1 (20)
	(,	-	12	-				-
3.3	-	1 1 1000	-	3 (0,5 - 5)	-	-	-	-
	1000							
	IV							
4.1	-	6	-	1 (2500)	2 (5000)	-	-	10% (-)
4.2	-	6	-	1 (2500)	2(5000)	6(25000)	1(2500)	4
4.3	-	6	-	-	-	-	1(2500)	-
4.4	,	6	-	-	2(5000)	4(25000)	1(2500)	-
4.5	-	6	-	-	-	-	1(2500)	1 / ,10 °
4.6	-	6	-	-	2(25000/ 1000)	-	-	1,5 °
4.7	-	6	-	-	3(50000/ 1000)	-	-	5 % ,20 %
4.8	-	6	-	-	3 (500/ 1000)	-	-	10 %
4.9	-	6	-	-	1(50000)	-	-	5 %
4.10	-	6	-	-	3(25000/ 1000)	2(50000)	-	5 %
4.11	-	1	-	-	2(5000)	-	-	1 %
4.12	-	6	-	-	-	-	-	0,5
4.13	-	3	-	-	2 (5000) (100000)	3	-	1 °
4.14	-	6	-	-	2 (1000)	3(50000)	-	0,1 °
4.15	-	6	-	-	2 (1000)	-	-	0,5
4.16	-	1	-	-	-	-	1 (10000 - 50000)	10 ° , 10 °
4.17	-	1	-	-	2 (1000)	2(20000)	1(2500)	2 %
4.18	-	5	-	-	-	-	1 (10000)	3

[18].

Таблица 2 – Предложения спутниковой информации природно-ресурсного и экологического характера

Аппара- тура	Космический аппарат	Разреше-ние, м	Диапазон электромаг-нитных волн - число каналов	Вид съемки	Время эксплуатации прибора							
					2014	2015	2016	2017	2018	2019	2020	2021
OLI	Landsat-8	30	VNIR-5, SWIR-3	C3	2013							
OLI	Landsat-8	15	VNIR-1	II	2013							
TIRS	Landsat-8	100 (30)	TIR-1	C3	2013							
NAOMI	VNREDSat-1A	10	VIS-3, NIR-1	C3	2013							
MCC	Бенка (БКА) № 1	12	VNIR - 3	C3	2012							
VIIRS	Suomi NPP	400 – 800	VNIR-9, SWIR-8, TIR-4	C3	2011							
AVHRR/3	NOAA 19	1100	VNIR-3, SWIR-1, TIR-2	C3	2009							
SAR	Radarsat-2	8/25/30/50	C	PJ	2007							
X-Band SAR	TerraSAR-X	16/40	X	PJ	2007							
PCA	Кондор-Э	5 – 20	S	PJ	2013							
SAR 2000	Cosmo-SkyMed-4	1 – 20	X	PJ	2010							
SAR	RISAT-1	2 – 50	C	PJ	2012							
NAOMI	Spot-7	8	VIS-2, NIR-1, SWIR-1	C3	2014							
БРЛК	Meteop-M серия	500	X	PJ	2014							
БРЛК	Meteop-M серия	1000	X	PJ	2014							
PALSAR	ALOS-2	3 – 100	L	PJ	2014							
MSI	KazEOSat-2	6,5	VIS-4, NIR-1	C3	2014							
X-Band SAR	TerraSAR-X 2	16/40	X	PJ	2015							
SLSTR	Sentinel-3A (серия)	5 – 20	S	PJ	2015							
MCC	Бенка (БКА) № 2	10,5	VNIR-3	C3	2017							
SAR	Radarsat Constellation Mission (RCM)	3 – 100	C	PJ	2018							
MCY	Cिच-2-1	8	VNIR-4	C3	2018							

Аппара- тура	Космический аппарат	Разреше-ние, м	Диапазон электромаг-нитных волн – число каналов	Вид съемки	Время эксплуатации прибора							
					Год пуска КА	2014	2015	2016	2017	2018	2019	2020
HISUI	ALOS-3	5	VIS-3, NIR-1	C3	2019							
HISUI	ALOS-3	30	VNIR-57, SWIR-128	ГС	2019							
<i>Условные обозначения:</i>												
VIS	– видимый диапазон (0,4 – 0,75) мкм											
NIR	– ближний инфракрасный (0,76 – 1,3) мкм											
VNIR	– видимый + ближний инфракрасный (0,4 – 3,0) мкм											
SWIR	– короткий инфракрасный (1,3 – 3,0) мкм											
MWIR	– средний инфракрасный (3,0 – 6,0) мкм											
TIR	– тепловой инфракрасный (6,0 – 15) мкм											
FIR	– дальний инфракрасный (15 мкм – 0,1 см)											
MIC	– микроволновый (0,1 – 100) см											
<i>Деление на диапазоны взято из [19].</i>												

 – панхроматическая съемка
 – спектроизональная съемка
 – гиперспектральная съемка
 – радиолокационная съемка
 – действующие
 – разрабатываемые

		, . ² ,					
		Radarsat-2		Radarsat-2		i -2-1	OLI() Landsat 8
		8		30		8	30
		,		50 50		150 150	46 x 46
1		51		-		51	-
2		-		-		2	2
3		-		120		-	-
4		4		-		4	-
5		90		-		90	90
6		,		:			
-		-		3		84	3
-		9		-		9	9
7		1		40		40	40
8		-		7		-	-
9		5		-		-	-
10		,		-			
-		-		3		120	-
-		8		-		8	-
,		. ²		167		291	225
(50 %)), .		100		206	11
							5

4 -

		1	2	3	4	5	6	7	8	9	10	11	12	
1	-	-	4	4	-	-	-	-	4	4	-	-	-	16
2	-	-	-	4	4	4	4	4	4	4	-	-	-	24
3	4-30	4-30	4-30	-	-	-	-	-	-	-	4-30	4-30	20-150	
4	,	-	-	-	-	4	4	4	4	4	-	-	-	20
5														
6	()	-	-	4	4	4	4	4	4	4	4	-	36	
7	:	4-30	4-30	4-30	-	-	-	-	-	-	4-30	4-30	20-150	
8	-	-	-	-	4	4	4	4	4	4	-	-	20	
9														
10							1	10						

	, Radarsat-2		OLI(), Landsat 8		, -2-1		MODIS, TERRA		, ,		AVHRR, NOAA		OLI(), Landsat 8		
	30	30	8		-250 -1000	500	1000		-1100; -1100	30					
	150	150	173	185	46	46	2300	2300	600	600	600	3000	3000	173	185
1															
	-	-	-	-	-	-	-	-	-	6720	-				
	-	-	-	-	-	-	-	-	-	-	670				
2															
	,	-	-	-	-	-	10080	-	-	-	10080				
3															
	()	-	-	-	-	-	-	-	12000	12000	-			
	-	-	-	-	-	-	-	-	-	-	-	240			
	-	-	-	240	-	-	-	-	-	-	-	240			
4															
	-	5	-	5	-	-	-	-	-	-	-	-			
5															
	-	-	2100	-	2100	-	-	-	-	-	-	2100			
6															
	,	-	-	-	-	8400	-	-	-	8400	-	-			
7															
	-	-	-	-	-	219000	-	-	-	219000	-	-			
	-	-	-	-	-	72600	-	-	-	72600	-	-			
8															
	-	-	(-)	860	-	860	-	-	-	-	860		
9															
	-	-	(-)	:	-	-	-	90000	-	-	90000	-	
	-	-	-	-	-	-	12000	-	-	12000	-	-	-		
10										23920	-	23920	23920	-	

6 -

		(. ,)	(-),	(-),	[-]
	-2-1	0,51 – 0,59 0,61 – 0,68 0,69 – 0,79 0,80 – 0,89	8	46 46	
MODIS	TERRA, AQUA	0,62 – 0,88 (2 .) 0,46 – 2,16 (5 .) 0,41 – 14,39 (29 .)	250 500 1000	2300 2300	[20]
OLI	Landsat 8	0,50 – 0,68 0,433 – 0,453 0,450 – 0,515 0,525 – 0,600 0,630 – 0,680 0,845 – 0,885 1,560 – 1,660 1,360 – 1,390 2,100 – 2,300 10,60 – 11,19 11,50 – 12,51	15 30 100 (30)*	173 185	1190 [21]
AVHRR	NOAA	0,58 – 0,68 0,75 – 1,1 1,58 – 1,64 3,55 – 3,93 10,3 – 11,3 11,5 – 12,5	1100	2400 2400	[20]
SAR	Radarsat-2	(1)	8 30	50 50 150 150	3575 [22] 2025 [22]
	-	(1)	500 1000	600 600 600 600	95 85 []
*			100 30		

			,		,	,
SAR	Radarsat-2	8	100	3575	357,5	
SAR	Radarsat-2	30	208	2025	421,9	
	-	500	42	85	3,6	
	-	1000	156	95	14,8	
	-2-1	8	2304			
OLI	Landsat 8	30	16	1190	19,3	
OLI	Landsat 8	30	665	1190	791,1	
AVHRR	NOAA	1100 ,	76			
MODIS	TERRA, AQUA	250 , 1000	121			
						~ 1608

15
1999

5

5 ,

5

15

: Pixel Solutions,

" - " . , , ;

,

, ,

, , ,

1999

2014

: 10 1,6

" -2-1", NOAA,
TERRA, AQUA.

12.10.2015,
02.03.2016